TV垂直偏向出力管の動作解析

Performance Analysis of the TV Vertical Deflection Out-put Tube

公原 豊*
Yutaka Matsubara

内 容 梗 概

TV垂直偏向回路は低周波出力回路に類似しているが,出力変成器一次インダクタンスの値が回路能率に関係している。すなわち,

- (1) 最大出力を得る最適負荷抵抗値がある。これは真空管内部抵抗の約2倍の値である。
- (2) 回路能率を最高にする出力変成器一次インダクタンスの最適値が存在する。

垂直偏向回路の解析は,

m=負荷抵抗/最適負荷抵抗

n = 出力変成器一次インダクタンス/最適一次インダクタンス

をパラメータにすれば比較的容易に行うことが可能であり、その結果を利用して所要の出力管の最大定格を かなり正確に決定することができる。

1. 緒 言

TV受像管の偏向角はしだいに広角化され、かつ陽極電圧も上がる傾向にある。これに伴い垂直偏向管に要求される最大定格もしだいに大きくなってきている。

事実,垂直偏向回路では電源電圧および回路定数の選び方が適当でないと,陽極損失が最大定格を越えることがある。したがって,できるだけ能率のよい偏向回路を設計することが重要である。能率を左右する因子としては電源電圧,負荷抵抗,出力変成器の一次インダクタンス,真空管パービアンスと出力変成器の一次巻線抵抗などがあるが,以下これらの間の関係について逐次解析していく。

2. 垂直偏向出力回路の動作解析

2.1 基礎関係式

第1図は垂直偏向出力回路の一例と、その出力変成器一次側に換算された等価回路を示す。第2図は等価回路各部の電流電圧波形である。偏向コイルは抵抗とインダクタンスの直列回路で表わされており、ここにのこぎり波状電流が流れる。したがって、この場合の各部の電流電圧の関係は次のようになる⁽¹⁾。

$$i_{0} = I_{pp} \left(\frac{t}{T} - \frac{1}{2} \right) \dots (1)$$

$$i_{1} = I_{pp} \left\{ \frac{1}{2} - \left(\frac{R_{0}}{2} - \frac{L_{0}}{T} \right) \frac{t}{L_{1}} + \frac{R_{0}}{2 L_{1} T} t^{2} \right\} \dots (2)$$

$$i_{b} = I_{pp} \left\{ \left(\frac{1}{T} - \frac{R_{0}}{2 L_{1}} + \frac{L_{0}}{L_{1} T} \right) t + \frac{R_{0}}{2 L_{1} T} t^{2} \right\} \dots (3)$$

$$I_{b} = I_{pp} \left(\frac{1}{2} - \frac{R_{0} T}{12 L_{1}} + \frac{L_{0}}{2 L_{1}} \right) \dots (4)$$

$$i_{b \max} = I_{pp} \left\{ \left(\frac{R_{0}}{2} - \frac{L_{0}}{T} \right) - \frac{R_{0}}{T} t \right\} + E_{bb} - R_{1} i_{b} \dots (6)$$

$$e_{b \min} = E_{bb} - I_{pp} \left\{ \left(\frac{R_{0}}{2} + \frac{L_{0}}{T} \right) + \left(1 + \frac{L_{0}}{L_{1}} \right) R_{1} \right\}$$

$$\dots (7)$$

ここに i_1 : 出力変成器の一次インダクタンス中を流れる電流

io: 陽極電流

ibmax: 陽極電流最大値

日立製作所茂原工場

Ib: 陽極電流平均值

en: 陽極電圧

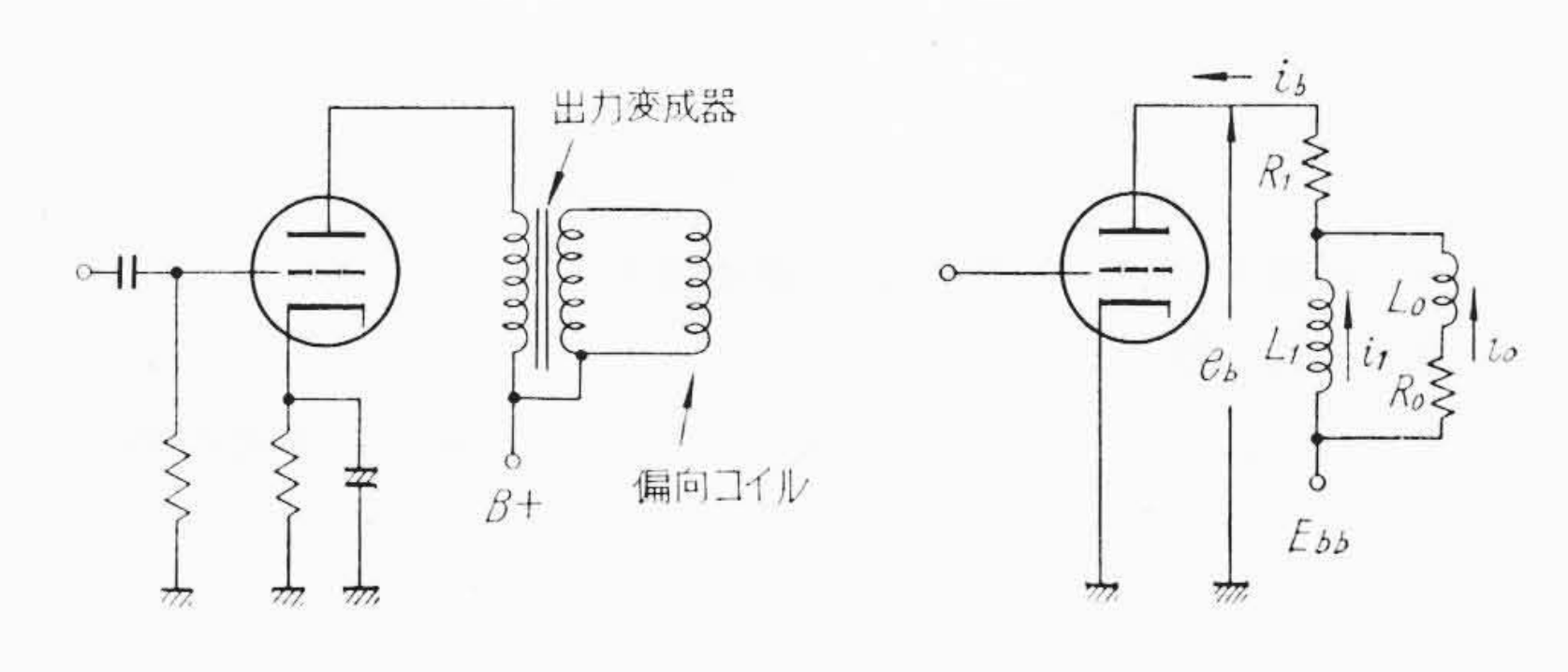
ebmin: 陽極電圧最小値

Ipp: 偏向電流(せん頭-せん頭値)

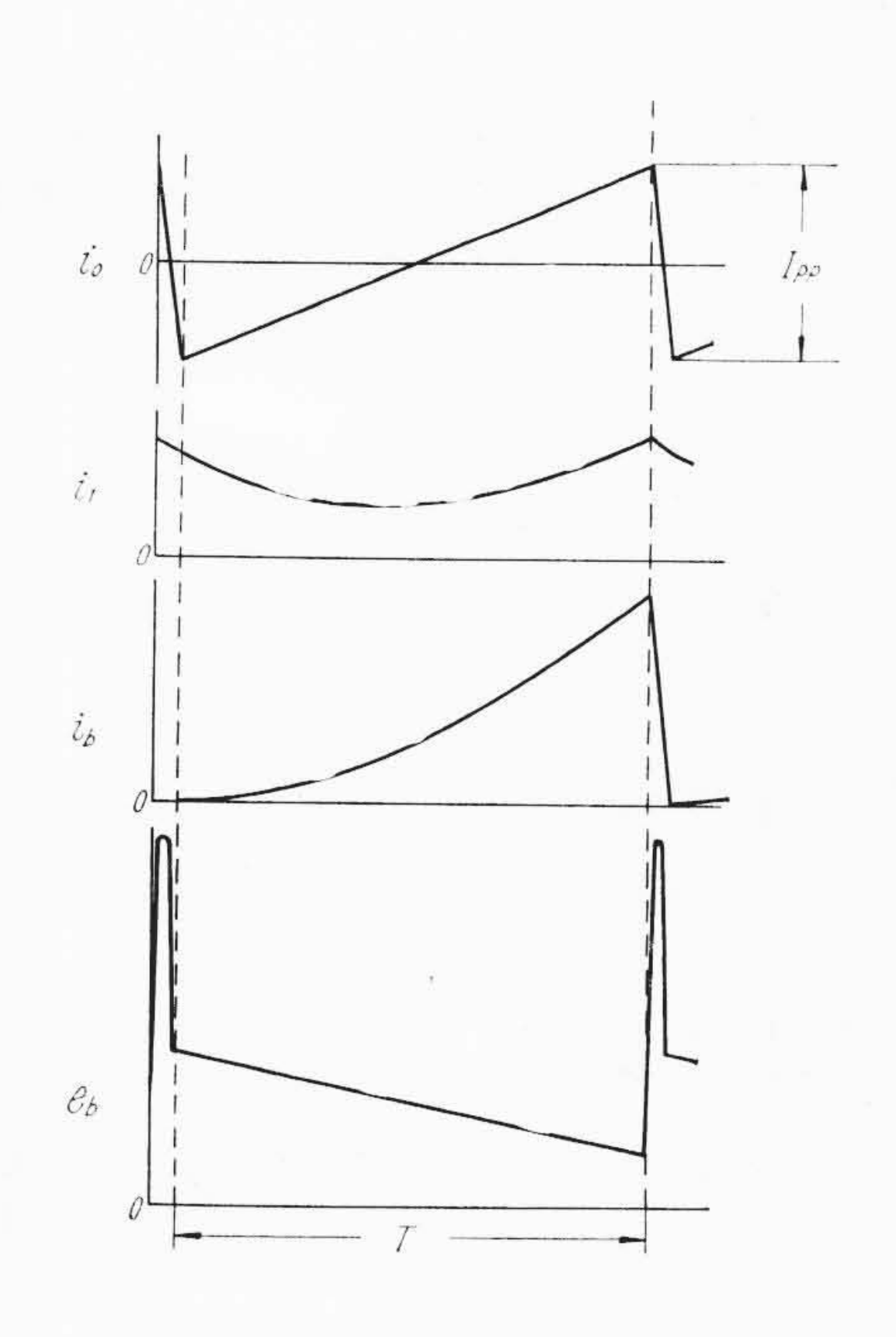
t: 時間T: 走査期間

Ebb: 陽極電源電圧

 L_1 : 出力変成器一次インダクタンス

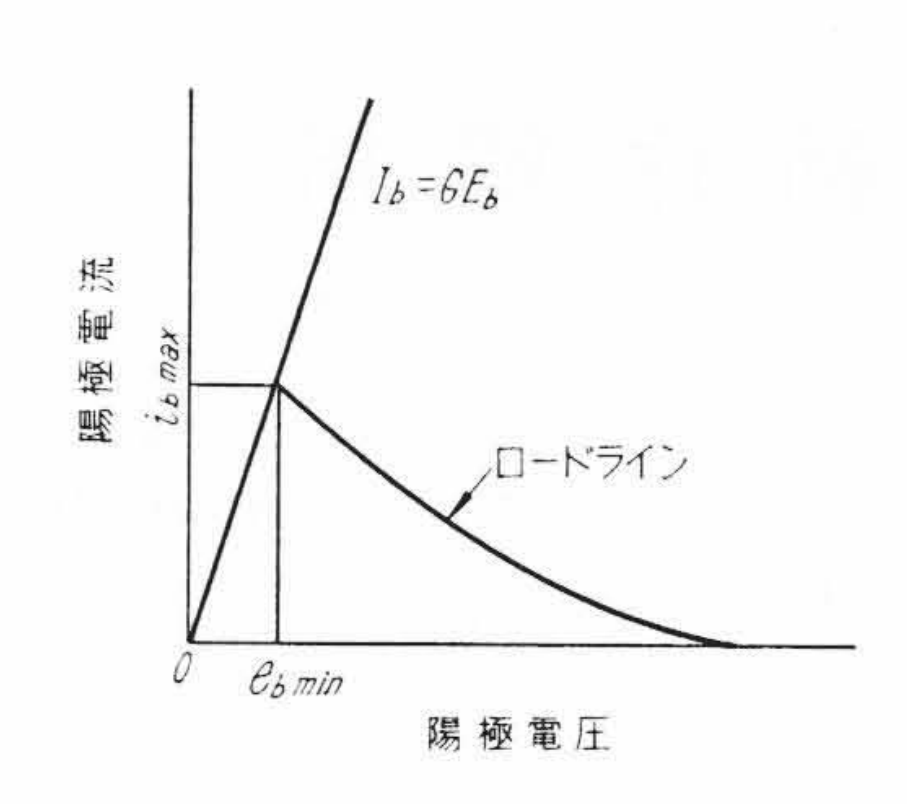


第1図 垂直偏向出力回路とその等価回路



第2図 ic, i1, ib, ebの各波形

日



第3図 真空管の陽極特性とロードライン

R₁: 出力変成器一次巻線抵抗

L₀: 偏向コイルインダクタンス(一次換算)

R₀: 偏向コイル抵抗, または負荷抵抗(一次換算)

ここでは出力変成器一次漏えいインダクタンス、帰線期間などの影響は省略し、 i_0 は0から流れ始めると仮定した。(2.7 参照)

2.2 真空管の陽極特性と負荷曲線

真空管の陽極特性を単純化して, バイアスOVで,

$$I_b = GE_b \dots (8)$$

ここに I_b : 陽極電流

G: 真空管パービアンス

Eb: 陽極電圧

とする。(3)(6)で表わされる負荷曲線は、 $I_b=0$ から始まって(8)で表わされる直線上で終るとする。したがって

$$e_{b\min} = \frac{1}{G} i_{b\max} \dots (9)$$

となる。(5)(7)(9)より負荷抵抗 R_1 は、次のようになる。

$$R_0 = 2 \left\{ \frac{E_{bb}}{I_{pp}} - \left(1 + \frac{L_0}{L_1} \right) \left(R_1 + \frac{1}{G} \right) - \frac{L_0}{T} \right\} \dots \dots (10)$$

2.3 回路の入力,出力および陽極損失

2.3.1 回路入力

回路に入る電力 Pin は、陽極電源電圧と陽極平均電流の積である。

2.3.2 出 ナ

(1) 偏向に要する電力 P₀

これは偏向コイル抵抗によって消費される分と偏向コイルのインダクタンスにたくわえられる分との和である。後者は帰線期間および走査の初期においてダンピング回路および偏向コイル抵抗によって消費される。したがって、 P_0 は次のようになる。

$$P_0 = \frac{1}{12} I_{pp}^2 R_0 + \frac{1}{2T} I_{pp}^2 L_0 \dots (12)$$

(2) 出力変成器一次インダクタンスにたくわえられる電力 P^1 この電力も帰線期間中にダンピング回路,負荷抵抗で消費する。

$$P_1 = \frac{1}{2 T} I_{pp}^2 \frac{L_0^2}{L_1} \dots (13)$$

(3) 変成器一次巻線抵抗により消費される電力 P2

$$P_{2} = \frac{1}{T} \int_{0}^{T} R_{1} i_{b}^{2} dt$$

$$= R_{1} I_{pp}^{2} \left\{ \frac{6 (L_{1} + L_{0}) - R_{0} T}{12 L_{1}} \right\}^{2} + R_{1} I_{pp}^{2} \left\{ \frac{(L_{0} + L_{1})^{2}}{12 L_{1}^{2}} + \frac{R_{0}^{2} T^{2}}{720 L_{1}^{2}} \right\} \dots (14)$$

2.3.3 陽極損失 Pp

陽極損失 P_p を計算すれば次のようになる。

$$P_{p} = \frac{1}{T} \int_{0}^{T} e_{b} i_{b} dt$$

$$= P_{\text{in}} - (P_{0} + P_{1} + P_{2}) \dots (15)$$

2.4 能率を最高にする条件

能率 η を P_0 と P_{in} の比として定義する。したがって

$$\eta = \frac{P_0}{P_{\rm in}}$$

真空管は負の陽極電流が流せないから(3)の1次の項の係数は0または正である。また η は L_1 の増加とともに減少する。したがって

$$L_1 \ge \frac{1}{2} (R_0 T - 2 L_0) \dots (17)$$

となる。ここで

$$L_{1 \ opt} = \frac{1}{2} (R_0 T - 2 L_0) \dots (18)$$

とすれば、 L_1 がこの値をとる時に η は最大になる。

ここで偏向コイルの時定数を k とすれば

$$L_0 = kR_0 \dots (19)$$

変成器の一次インダクタンスを改めて次のようにおく。

$$L_1 = nL_{10pt}$$

$$= \frac{1}{2}nR_0(T-2k) \dots (20)$$

2.5 Poを最大にする最適負荷抵抗

(10) (19) (20) より

$$P_{0} = \frac{(T+6 k) R_{0} E_{bb}^{2}}{12T \left(\left(\frac{1}{2} - \frac{k}{T} \right) R_{0} + \left(R_{1} + \frac{1}{G} \right) \left\{ \frac{nT - 2(n-1)k}{n(T-2k)} \right\} \right)}$$

となる。 P_0 を最大にする最適負荷抵抗 R_{0opt} を求めると

$$R_{0opt} = 2 \frac{\left(R_1 + \frac{1}{G}\right) \left\{nT - 2(n-1)k\right\}T}{n(T-2k)(T+2k)} \dots (22)$$

となる。ここで改めて負荷抵抗を次のようにおく。

$$R_0 = m R_{00pt}$$

$$= \frac{2 m \left(R_1 + \frac{1}{G}\right) \left\{nT - 2(n-1)k\right\} T}{n(T-2k)(T+2k)} \dots (23)$$

2.6 計算によって導かれる関係式

(19)(20)(23)を各関係式に代入すれば各種の結論が得られるが, ここではそのうちいくつかを列挙する。

$$i_{b \max} = \frac{E_{bb}}{(1+m)\left(R_1 + \frac{1}{G}\right)}....(24)$$

$$e_{b\min} = \frac{E_{bb}}{(1+m)(R_1G+1)}....(25)$$

$$e_{b \max} = \left\{ \frac{m(T-2k)}{(1+m)(T+2k)} + 1 \right\} E_{bb} \dots (26)$$

$$I_{b} = \frac{\{(3 n-1) T-6 (n-1) k\} E_{bb}}{6 (1+m) \left(R_{1} + \frac{1}{G}\right) \{n T-2 (n-1) k\}} \dots (27)$$

$$P_{\text{in}} = \frac{\{(3 \, n - 1) \, T - 6 \, (n - 1) \, k\} E_{bb^2}}{6 \, (1 + m) \left(R_1 + \frac{1}{G}\right) \{n \, T - 2 \, (n - 1) \, k\}} \dots (28)$$

$$P_{0} = \frac{mn(T-2k)(T+6k)E_{bb}^{2}}{6(1+m)^{2}\left(R_{1}+\frac{1}{G}\right)\left\{nT-2(n-1)k\right\}(T+2k)}$$

$$P_1 = aP_0 \dots (30)$$

$$P_2 = \frac{bR_1}{m\left(R_1 + \frac{I}{G}\right)} P_0 \qquad (31)$$

$$\eta = \frac{mn(T-2k)(T+6k)}{(1+m)\{(3n-1)T-6(n-1)k\}(T+2k)}$$
.....(32)

$$P_{p} = \left\{ \frac{1}{\eta} - 1 - a - \frac{bR_{1}}{m\left(R_{1} + \frac{1}{G}\right)} \right\} P_{0} \quad \dots (33)$$

$$a = \frac{12k^2}{n(T-2k)(T+6k)} \dots (34)$$

$$b = \frac{(T+2k)[5(n-1)(T-2k)\{(2n+1)T-4(n-1)k+6T^2]}{5n(T-2k)(T+6k)\{nT-2(n-1)k\}}$$

普通の回路では

である。したがって P_P は次のようになる。

$$P_p = \left(\frac{1}{\eta} - 1.2\right) P_0 \quad \dots (37)$$

2.7 n < 1 の場合

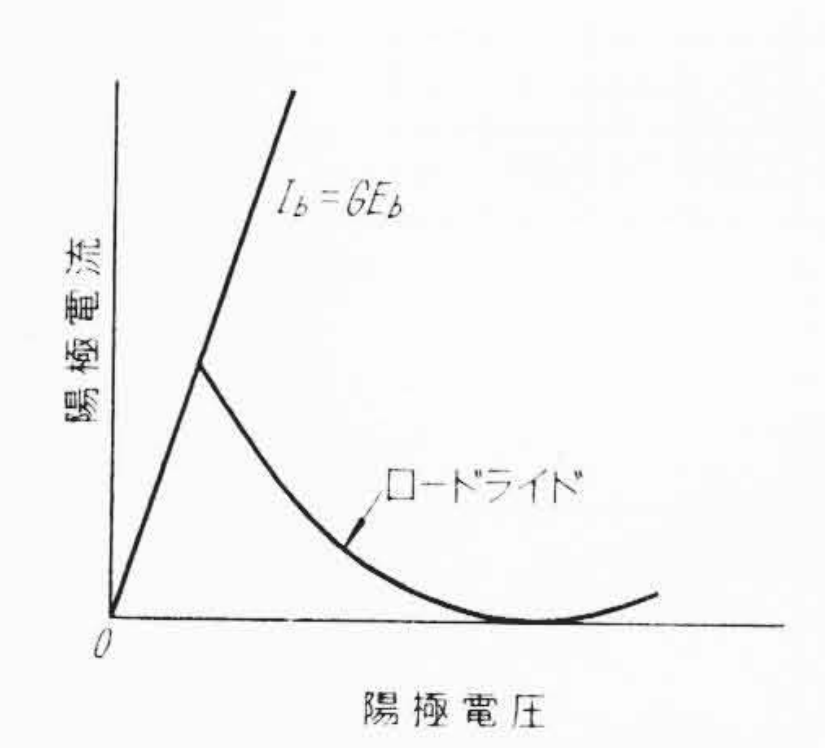
 i_b が 0 から流れ始めるとすると、n < 1 の場合負の陽極電流が必要となる。そこでロードラインを平行移動して陽極電流の最小値が0 となり、かつロードラインが(8) で表わす直線上で終るようにすれば、 i_b は 0 または正の値となり実現可能である(第4図) 。このための陽極電流、陽極電源電圧の補正分をそれぞれ ΔI_b , ΔE_{bb} とすれば、 ΔI_b

$$\Delta I_{b} = \frac{(n-1)^{2} (T-2 k)^{2} E_{bb}}{4 (1+m) \left(R_{1} + \frac{1}{G}\right) T \{nT-2 (n-1) k\}}$$
......(38)

$$\Delta E_{bb} = \left(R_1 + \frac{1}{G}\right) \Delta I_b \quad \dots \tag{39}$$

となる。この結果,(24)(27)に ${\it II}_b$ を,(25)(26)に $\frac{1}{\it G}$ ${\it II}_b$ を加えればよい。もちろん陽極電源電圧は ${\it IE}_{bb}$ だけ高くかけておく必要がある。

この時の陽極損失 P_p は



第4図 n<1の場合のロードライン

$$P_{p} = \left\{ \frac{1}{\eta} - 1 - a - \frac{bR_{1}}{m\left(R_{1} + \frac{1}{G}\right)} \right\} P_{0} + \frac{1}{G} \left\{ \Delta I_{b}^{2} + I_{b} \Delta I_{b} \right\} + E_{bb} \Delta I_{b}$$

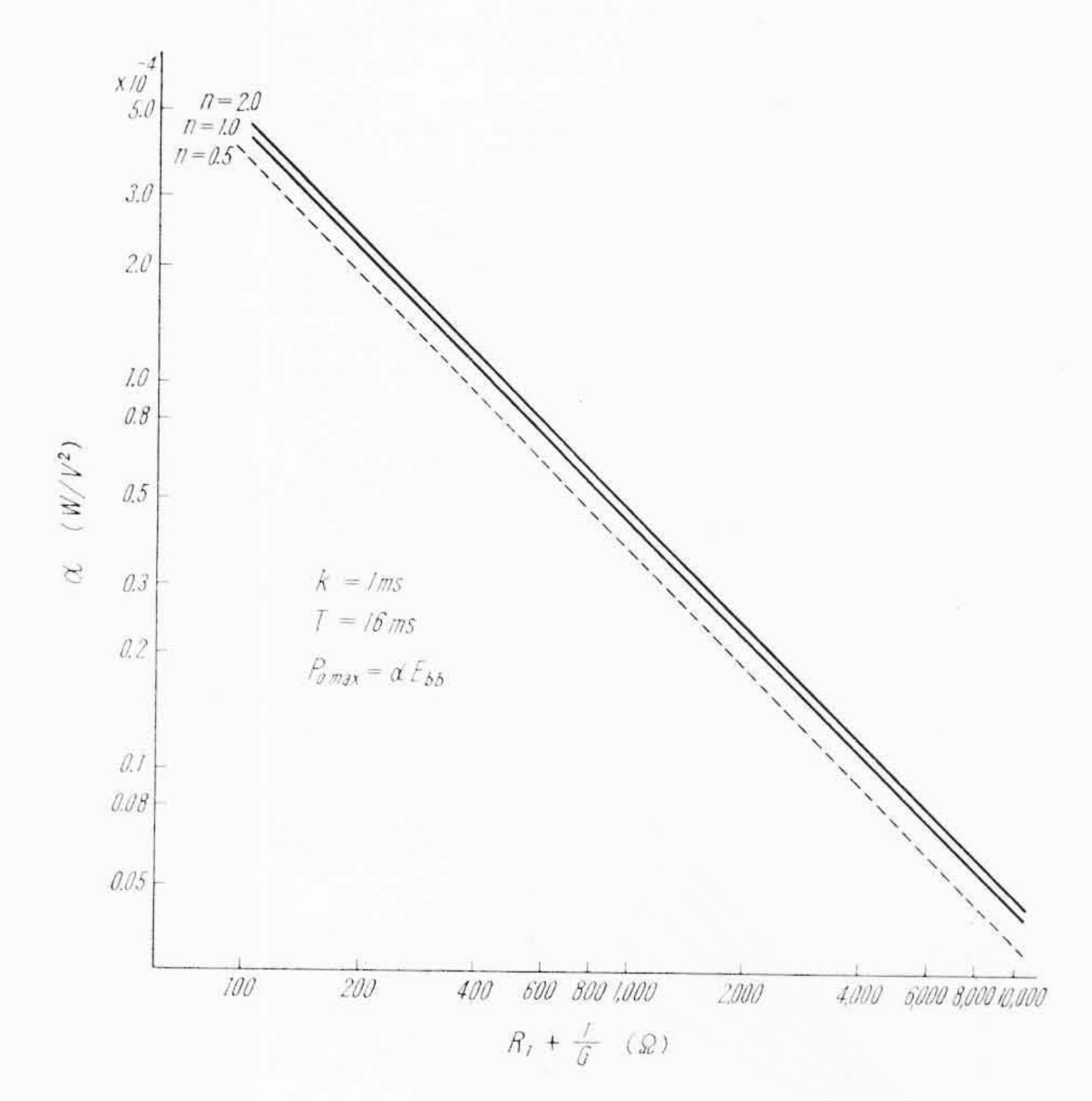
.....(40)

と計算される。

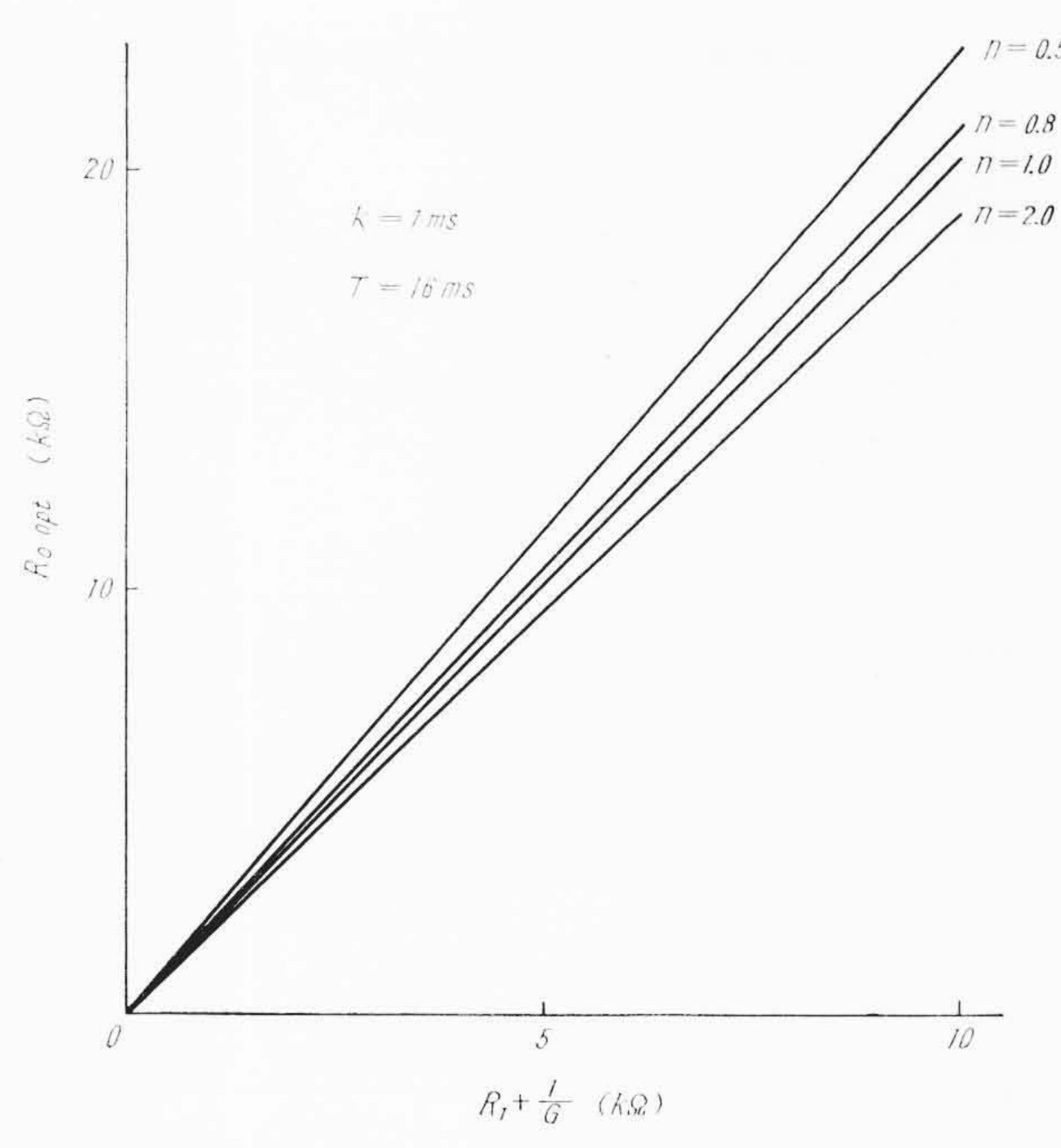
一般に第4図のようなロードラインとなるので回路的に実現困難となってくるが、能率はn < 1の範囲で最高値をとる。実際の回路ではn > 0.8となっているようである。

2.8 計 算 図 表

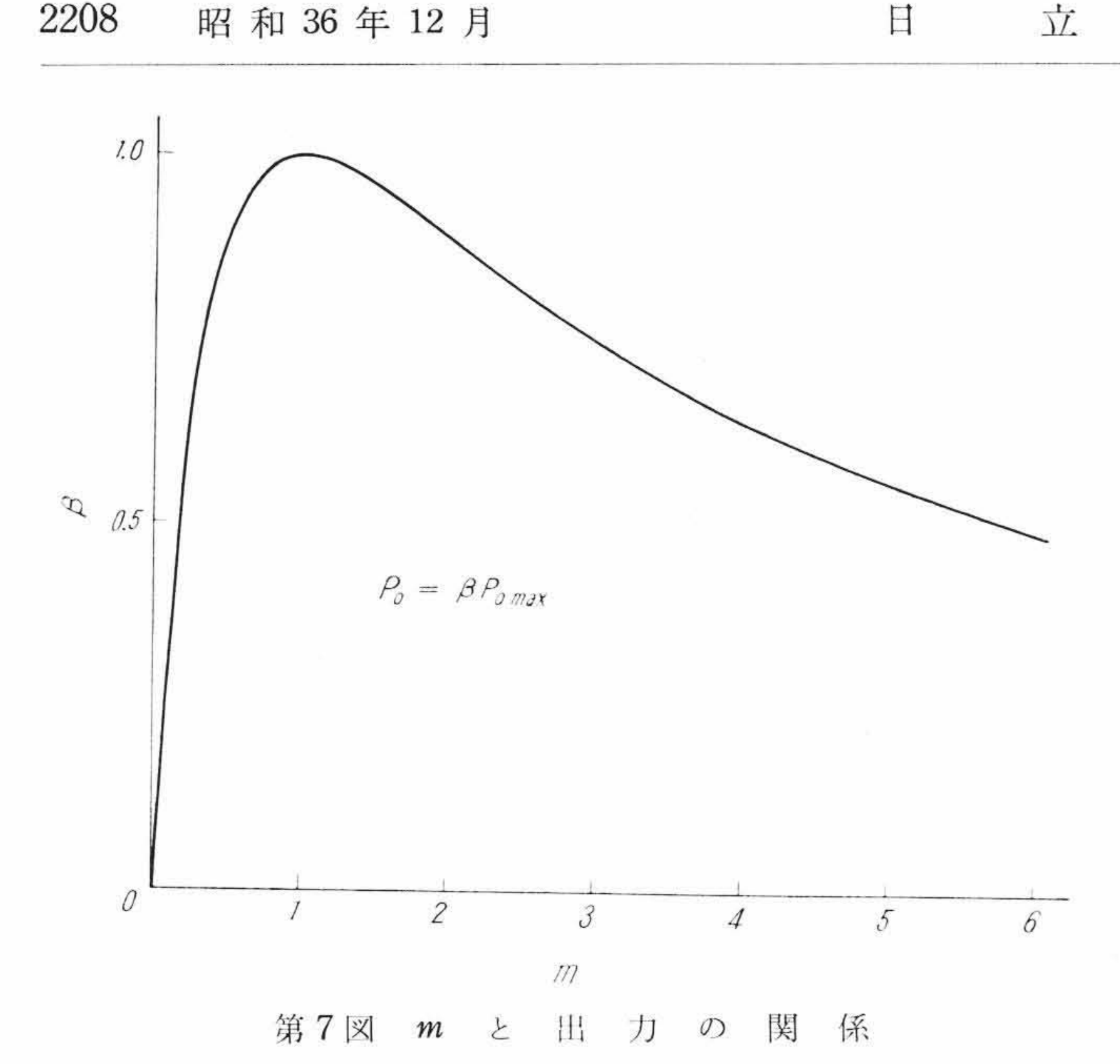
以上の関係式はそのままでは計算するのにやっかいであるので, 実際の設計にあたってはあらかじめ必要な定数を与えて図表を作っ ておくと便利である。それらの例を**第**5~14図に示す。

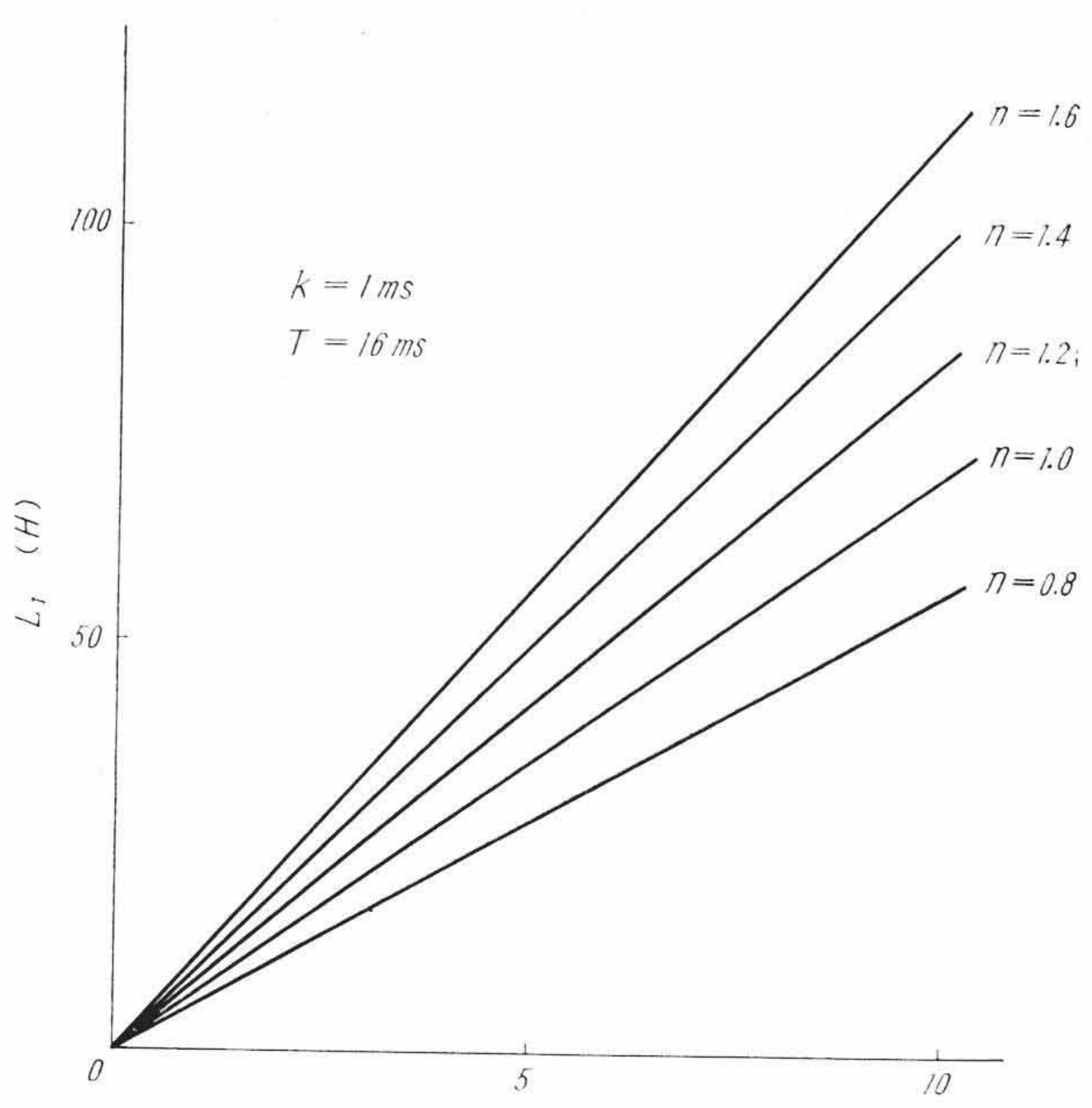


第 5 図 $R_1 + \frac{1}{G}$ と最大出力の関係

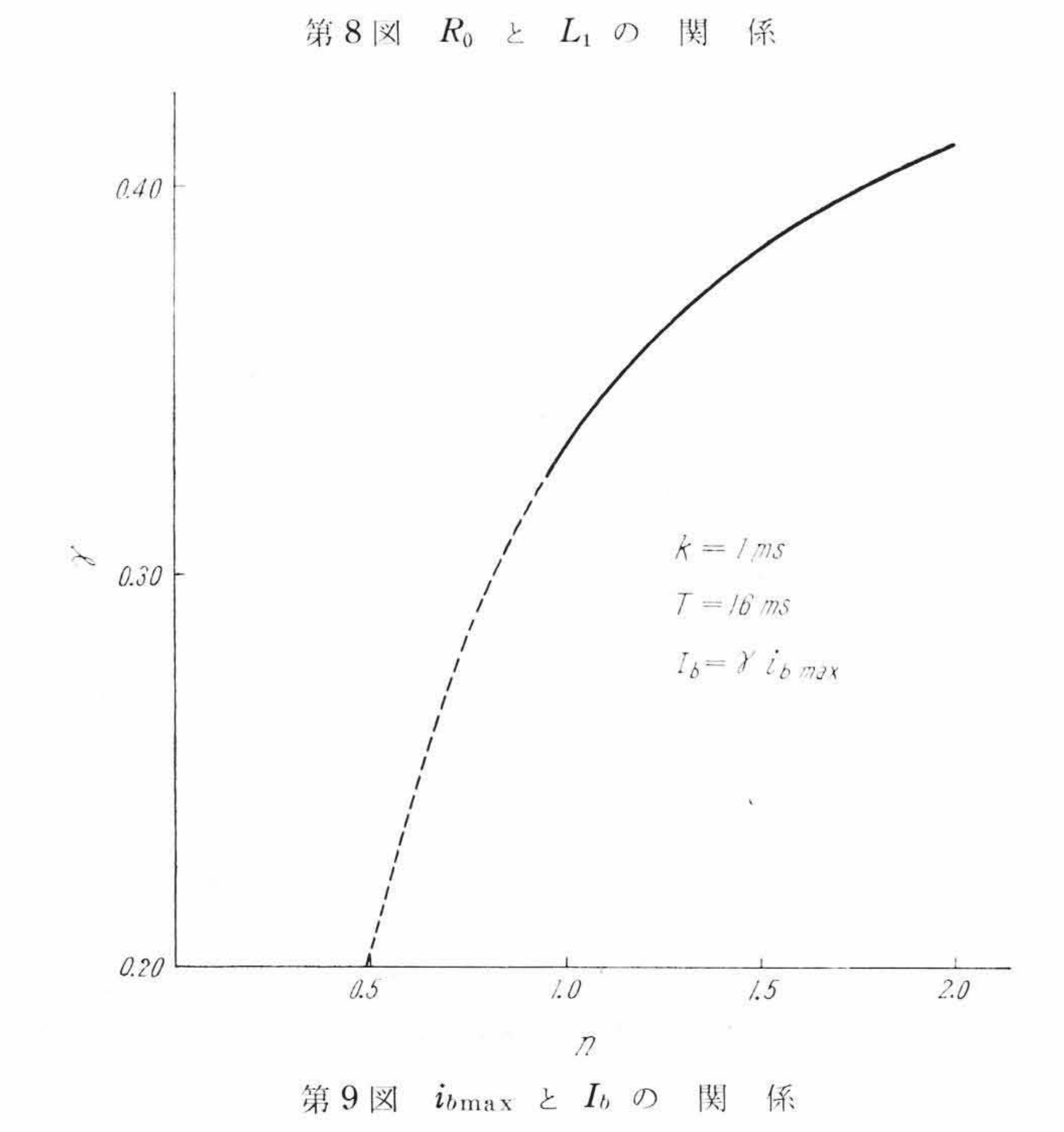


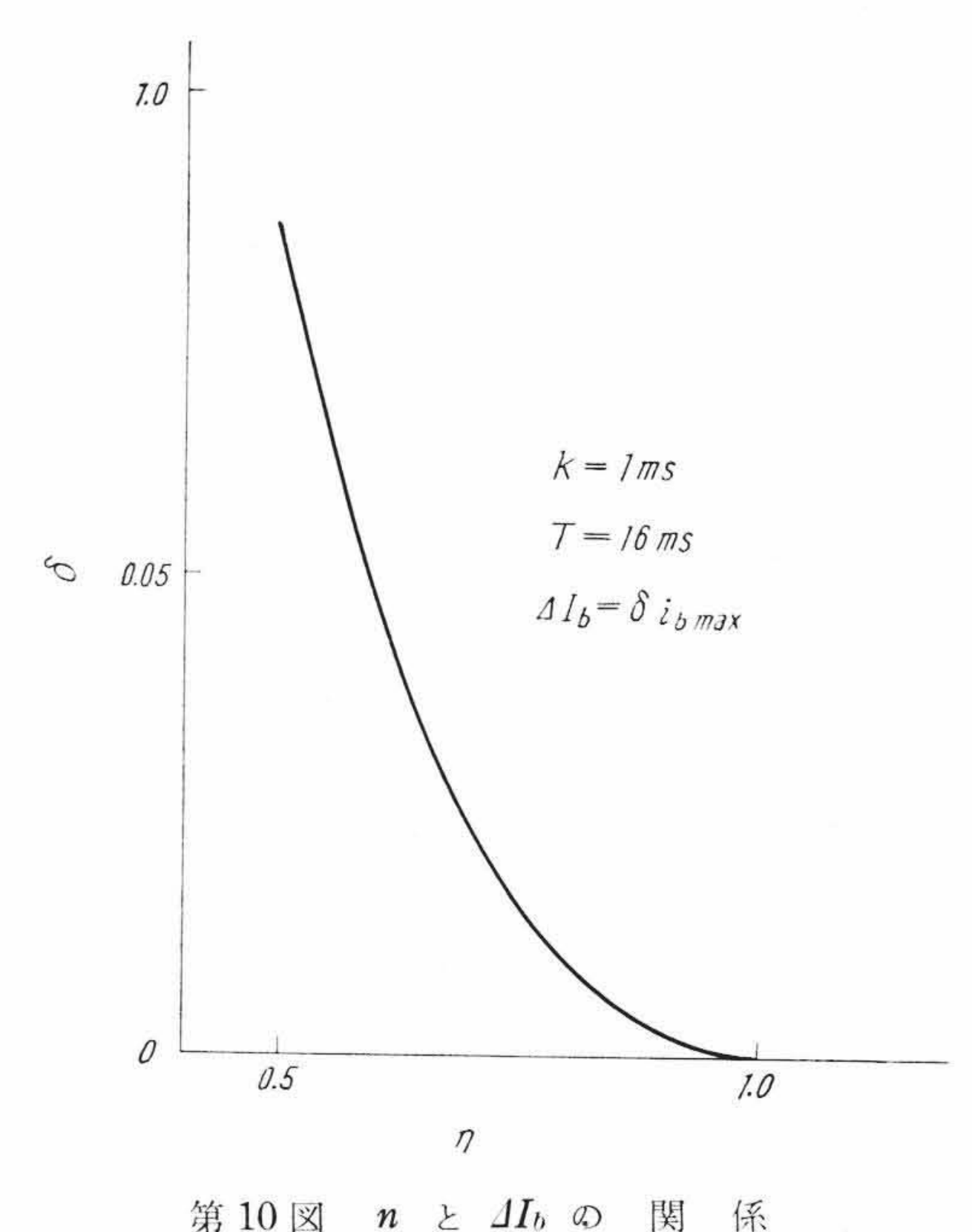
第6図 $R_1 + \frac{1}{G}$ と最適負荷抵抗の関係



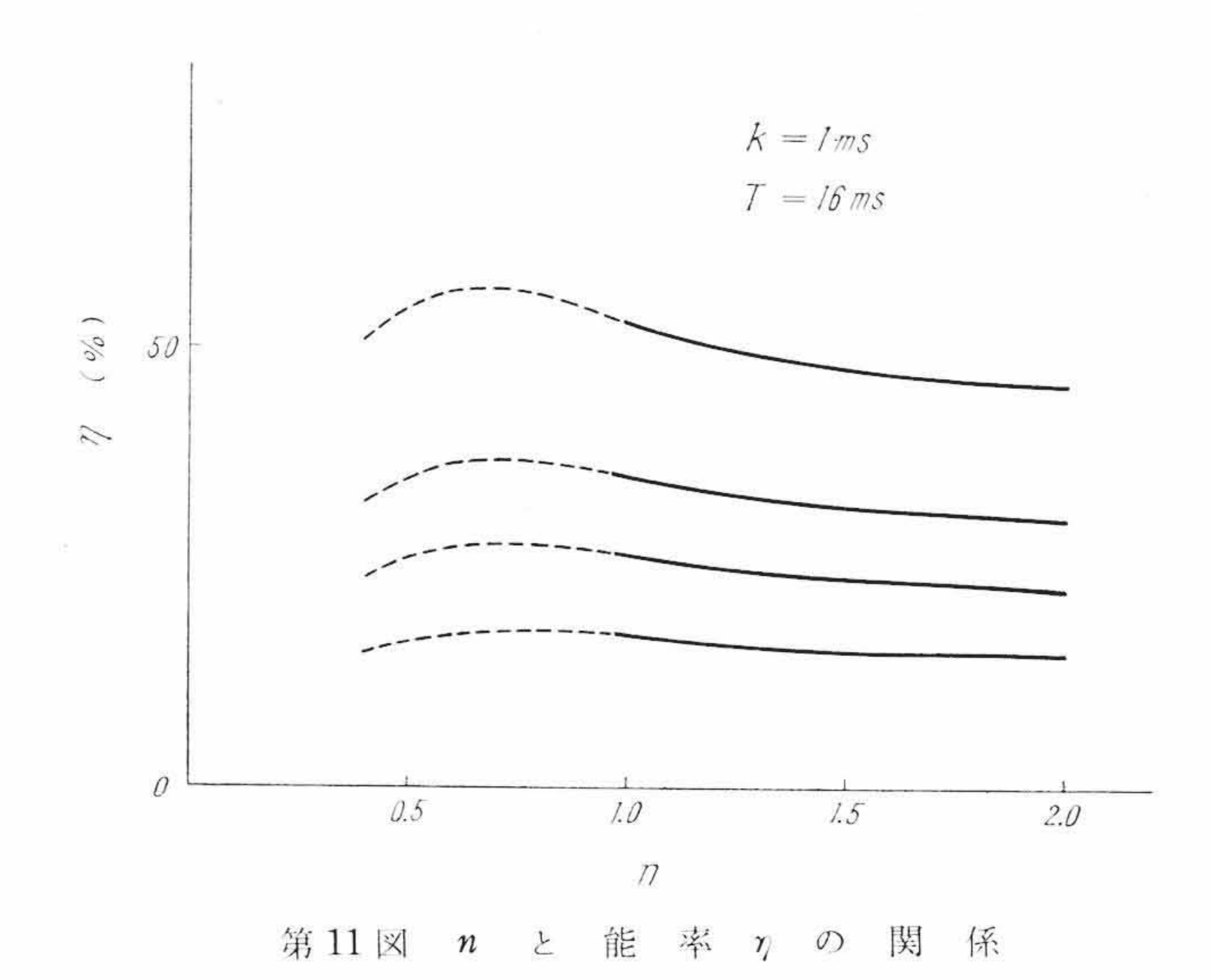


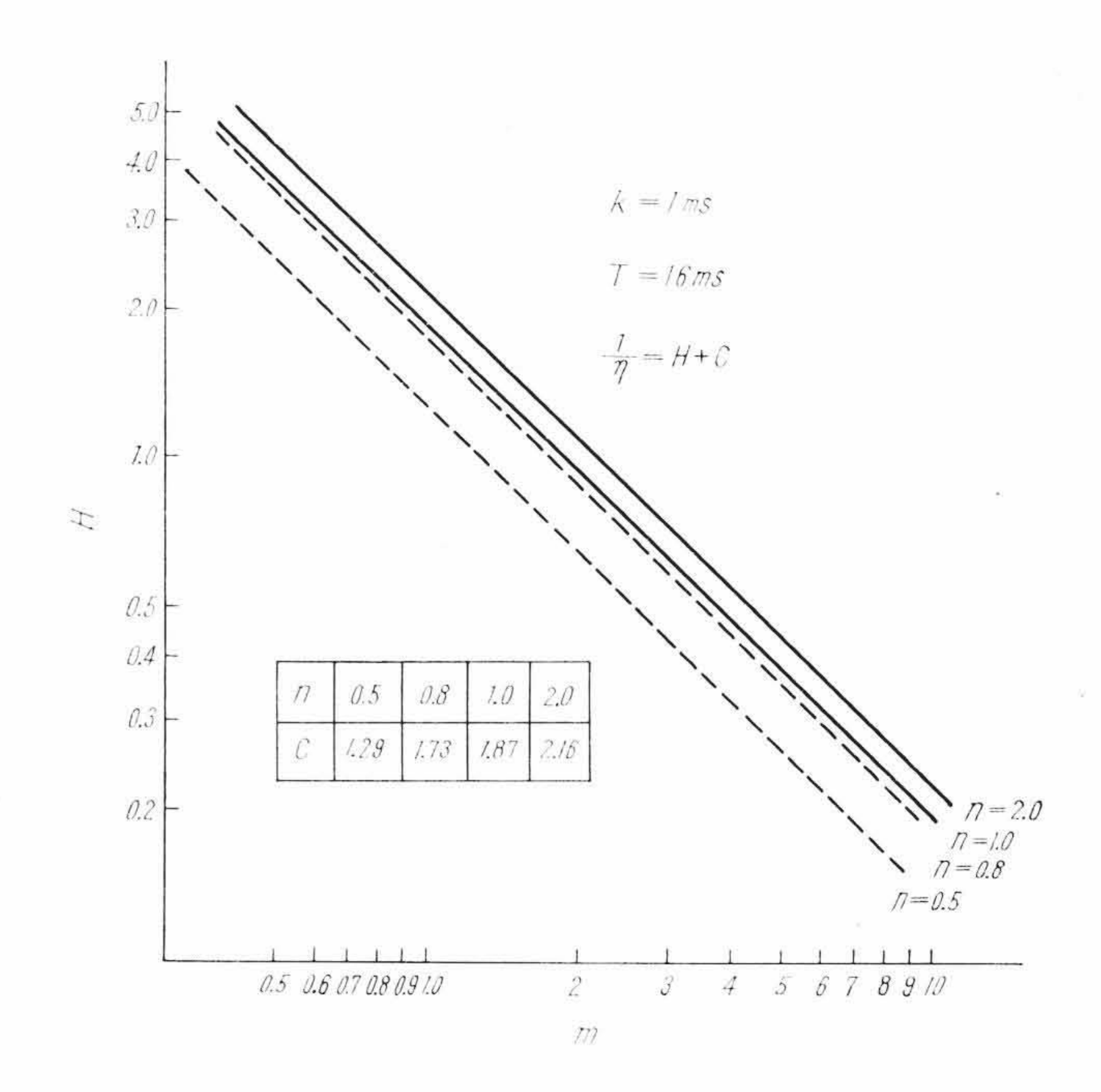
 R_0 $(k\Omega)$



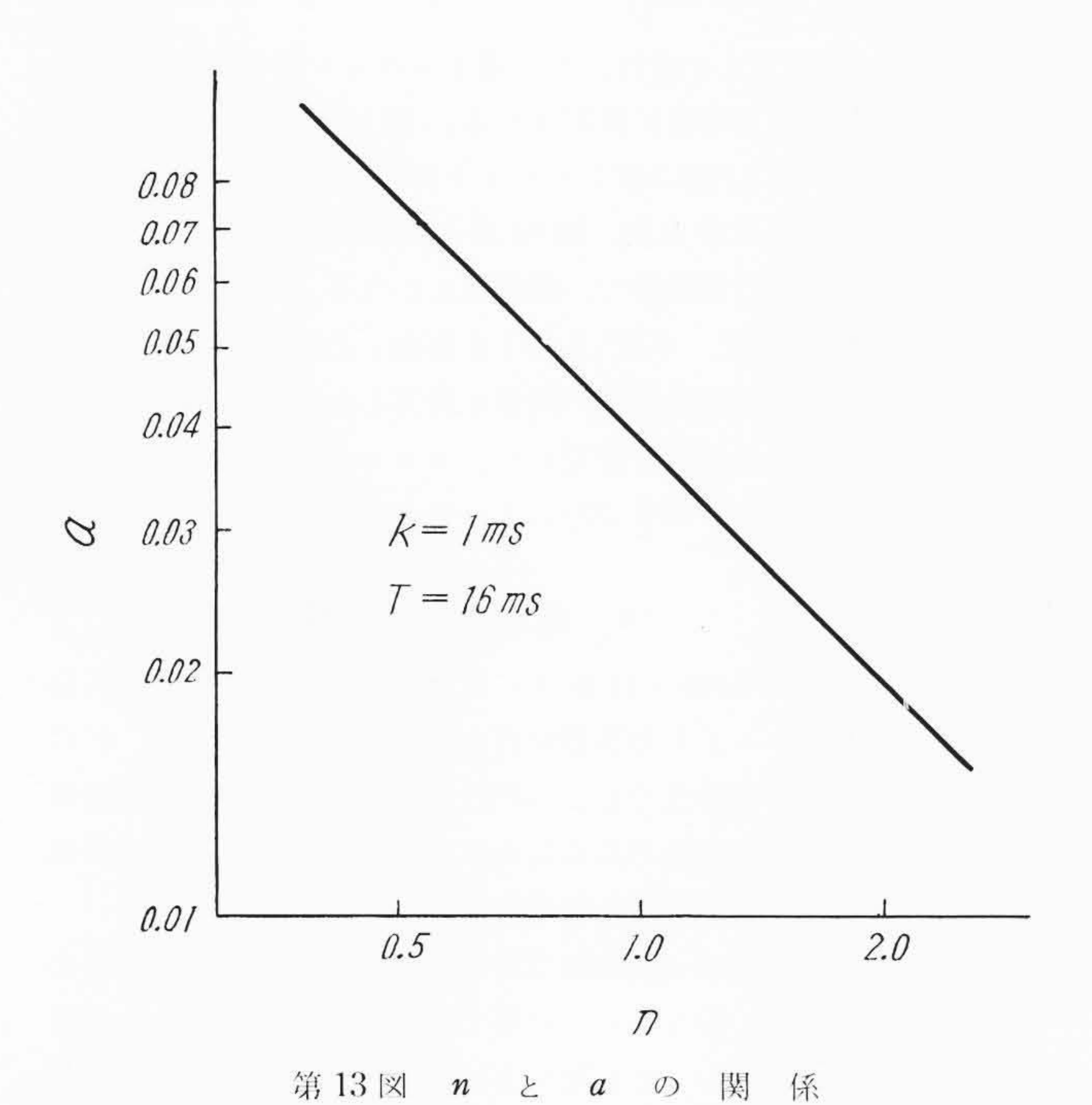


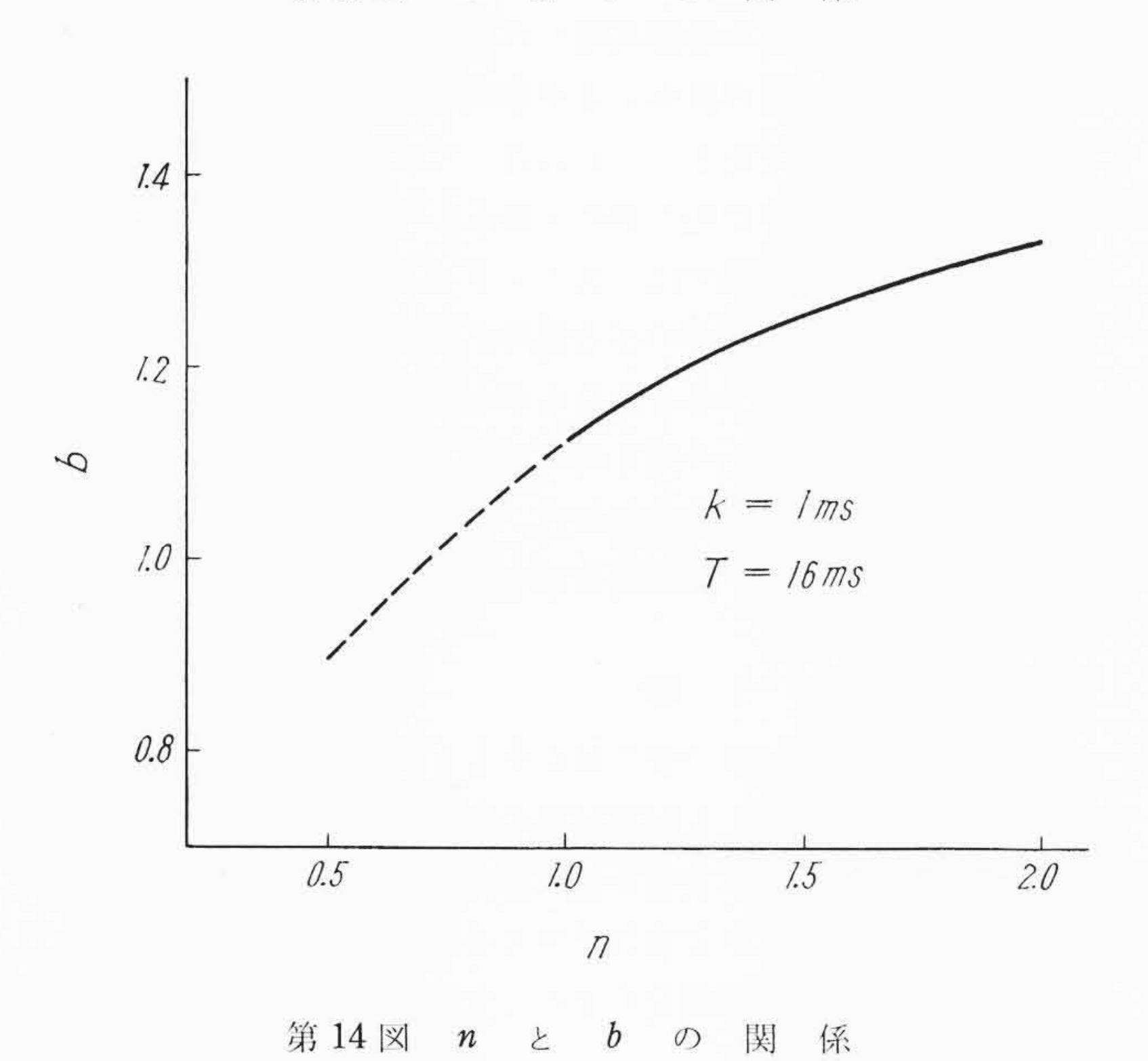
第10図 n と 4Ib の 関 係

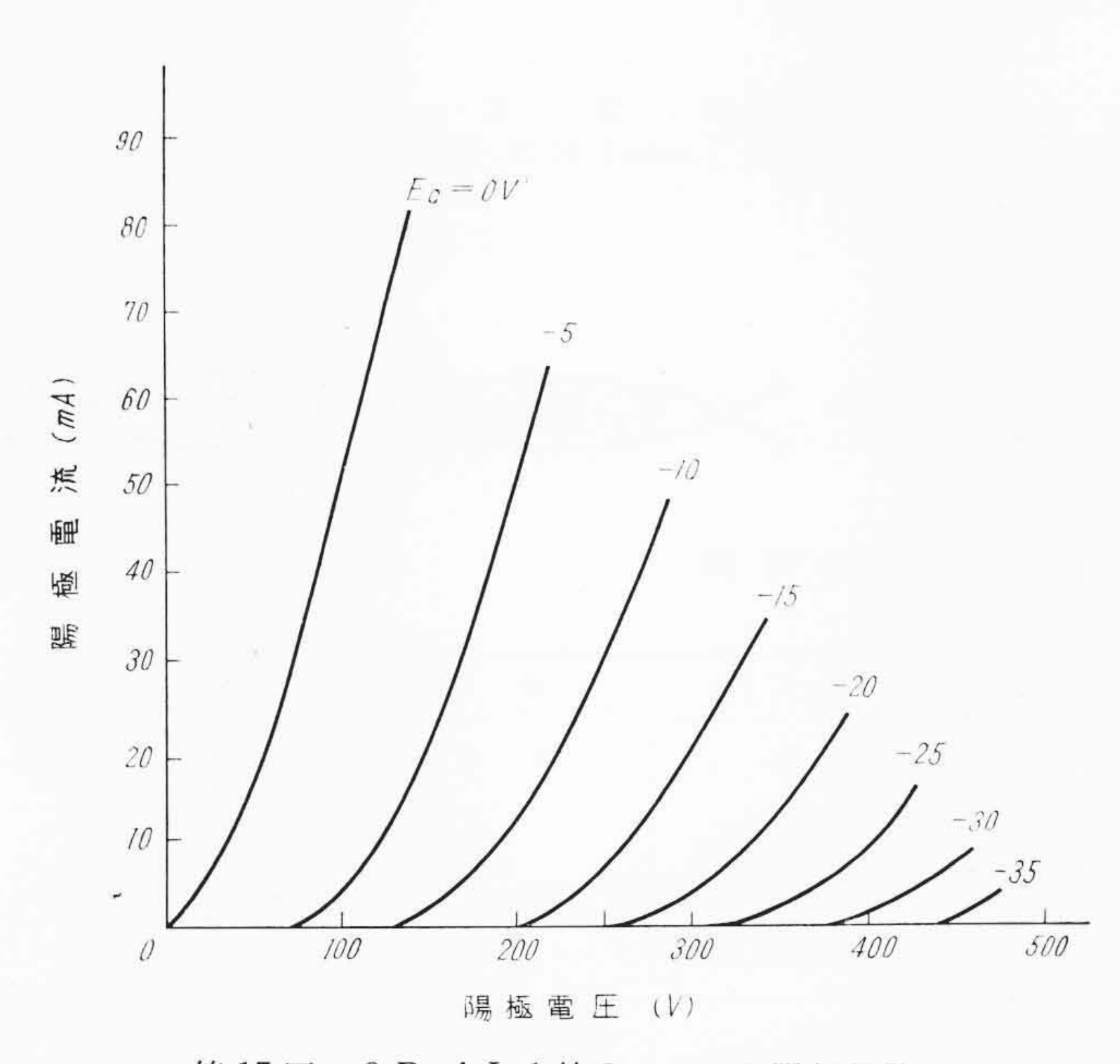




第 12 図 m と $\frac{1}{\eta}$ の 関 係







第 15 図 9 R-A L 1 第 2 ユニット 陽極特性

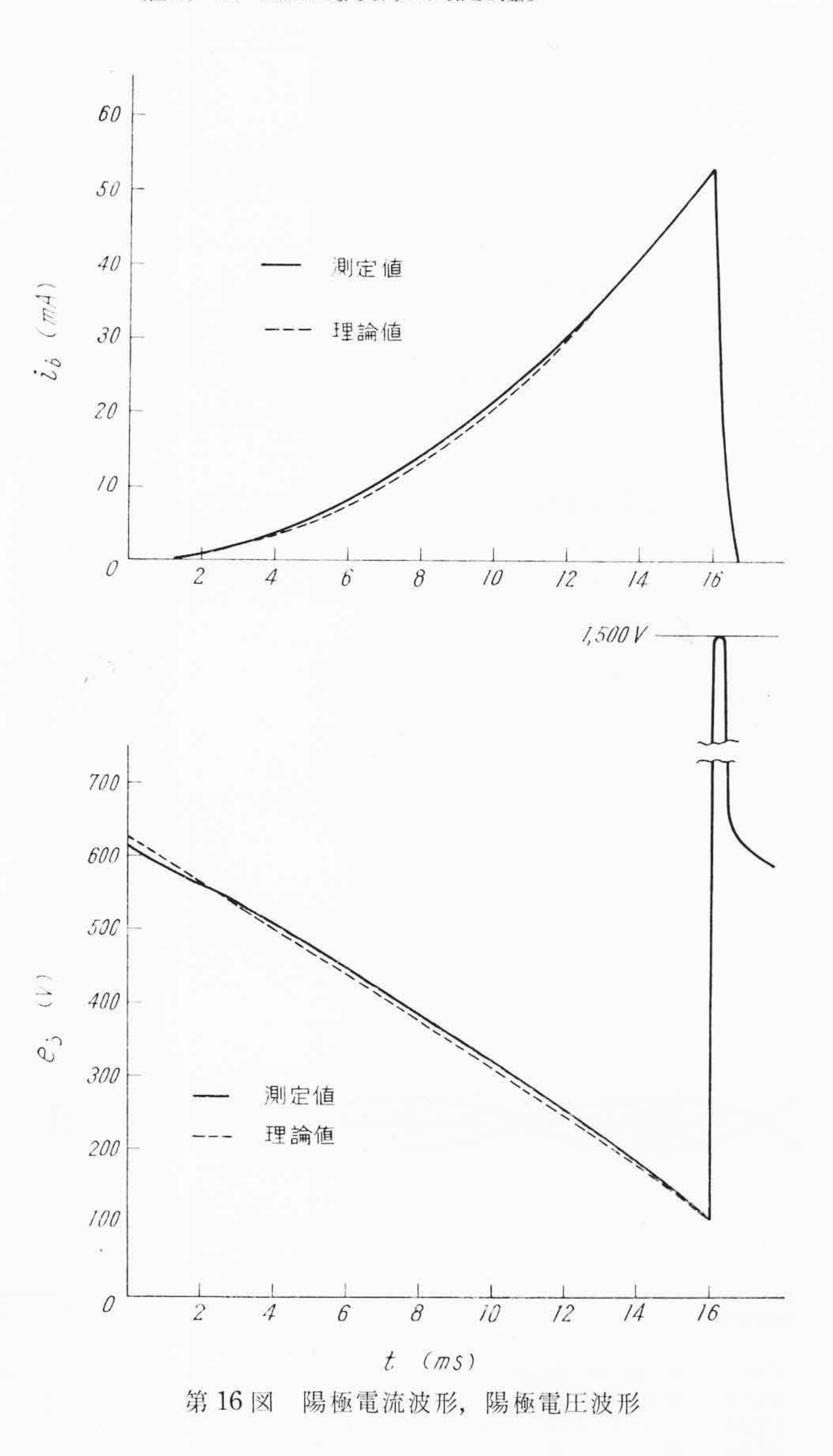
第1表 9 R-AL1定格

E	***	9		電	Æ	(V)	9.0		
٤	****	タ		電	流	(A)	0.6		
最	大	定	格	(設	計	最 大	値)	第1ユニット	第2ユニット
陽		極		電		圧.	(V)	330	500
平	λ	頭	陽	極	電	Æ.	(V)		2,000
陽		極		損		失	(W)	1.5	8
平	均	陰		極	電	流	(mA)	22	40
世	ん	頭	陰	極	電	流	(mA)	77	140

第2表 9 R-A L1 第2ユニット使用例

回 路 定 数	項目	計 算 値	測 定 値				
E_{bb} 420V	$i_{b\max}$ (mA)	53	52.5				
G 0.5m℧	I_b (mA)	17.7	18.0				
$R_1 + 1 \times \Omega$	P_p (W)	4.2	4.3(注1)				
m 1.64	$e_{b\min}(V)$	10.6	約 105				
n 1.0	$e_{b\max}(\mathbf{V})$	623	約 620				
Ro 10 k Ω	η (%)	33.5	33				
Lo 10H	P_0 (W)	2.5	(注2)				
L1 70H							

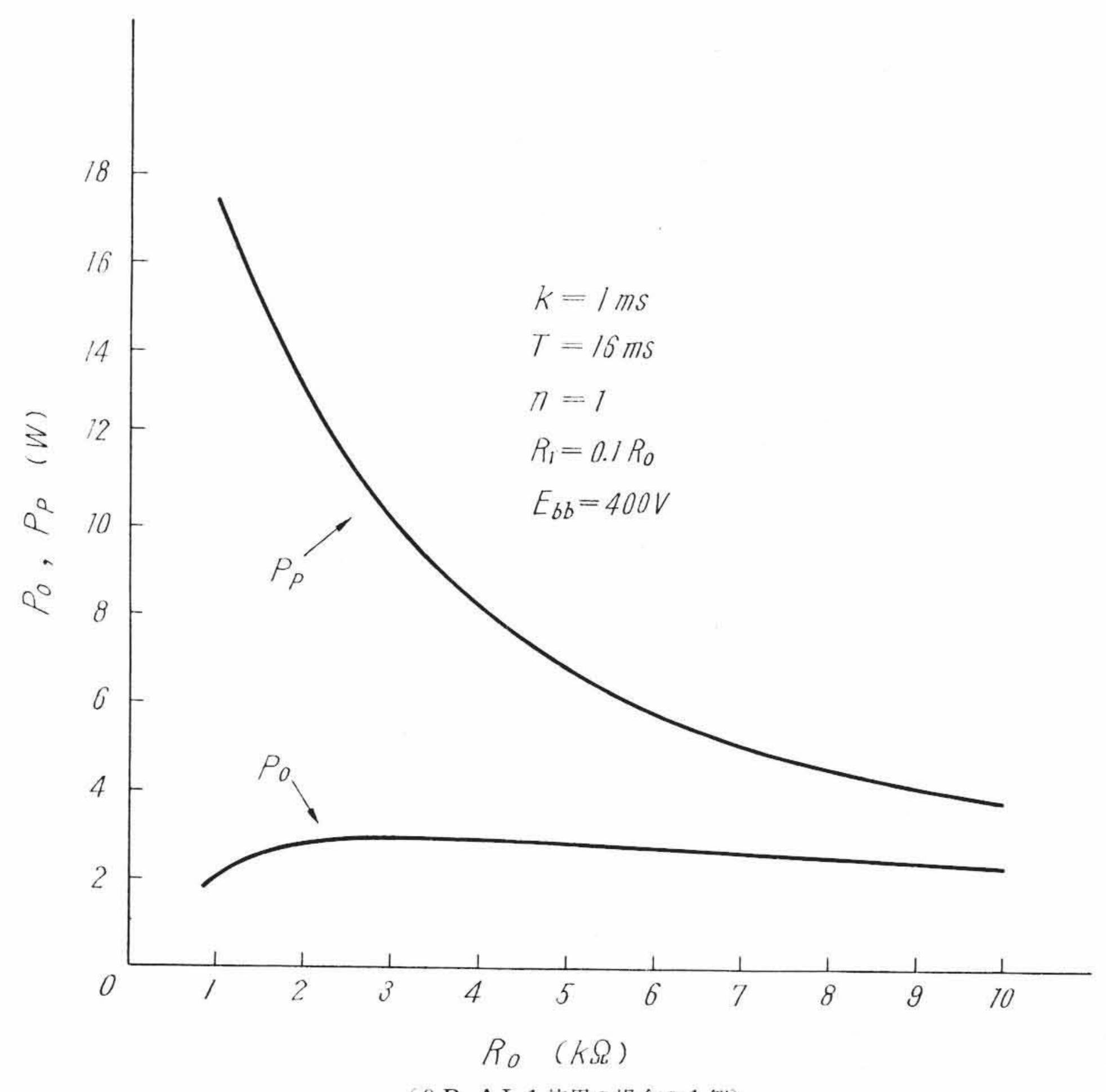
- (注1) 陽極電流波形,電圧波形より図式計算で求めた。
- (注2) $P_0=2.5W$ になるように回路を調整。



3. 垂直偏向出力管の最大定格設計例

ブースト電圧を使用した110度偏向用出力管について考えてみる。

日



(9 R-AL1使用の場合の1例) 第 17 図 負荷抵抗による出力および陽極損失の変化

3.1 偏向所要電力

偏向コイル抵抗 18Ω , インダクタンス 18mH とする。ブラウン管陽極電圧 15kV, 10% 過偏向のとき偏向電流はせん頭—せん頭値で 1.1A である。したがって偏向に要する電力 P_0 は、(12) により 2.5 Wと計算される。

3.2 出力管最大定格

陽極電源電圧を 420 V とする。m=n=1 とすれば,(27)(29)(37) より

$$I_b = 25 \text{mA}$$

$$R_1 + \frac{1}{G} = 3,100\Omega$$

$$P_p = 6.5 \mathrm{W}$$

と計算される。したがって出力管の最大定格はこれらの値を十分満 足するものであればよい。

3.3 出力管設計例

以上の定格を満足するものとして、9ピンミニアチュア複合管の

9 R-A L 1 を設計した。第 1 ユニットは発振,第 2 ユニットは出力増幅に使用される。 **第 1 表** は 9 R-A L 1 の 規格, **第 15** 図は第 2 ユニットの陽極特性を示している。

第2表は使用例,第16図はその時の陽極電流および 陽極電圧の実測形で,理論値とかなりよくあっている。

第 17 図は、9 R-A L 1 を使用した場合の負荷抵抗と出力および陽極損失の関係を計算したものである。n=1、 $R_1=0.1R_0$ と仮定した。グリッド入力はカットオフから0 バイアスまで行っているとする。

4. 直線性の問題

実際の回路では往々にして出力線の直性が問題になる。グリッド入力波形が自由に変えられるならば、どのような相互特性でもよいわけであるが、入力波形は直線に近い指数曲線であるために、相互特性はほぼ2次曲線であることが必要となる。

相互特性が直線的である場合には画面の最上部がのび、上から20%ぐらいの所で縮まる傾向がある。これは走査期間に入っても球がカットオフされている時間が長く、このため帰線期間から走査期間の初期にかけて起った過渡現象の波形と走査期間中の波形がうまくつながらないためである。これに対しては、もっと2次曲線に近くなるように相互特性を修正してやればよい。

実際の回路では一次インダクタンスが最適値より小さいことが多いので、上部がのびる傾向がある。したがって相互特性としてはこれをも補正するようなものが要求されている。

直線性の関係で回路が予定された能率よりも低い状態で使用されている場合には,真空管の相互特性,グリッド入力波形,出力変成器一次インダクタンス,負荷抵抗値を再検討する必要がある。

5. 結 言

以上垂直偏向出力回路の動作解析をもとにして、おもに真空管の最大定格とそれに関係した回路定数の決定法について述べた。合理的な回路定数を選べば真空管が過負荷になることはない。直線性の問題については今後も十分検討を加える予定である。

終りにのぞみ種々ご指導をたまわった日立製作所横浜工場テレビ 設計課の諸氏に感謝する。

参 考 文 献

(1) K. W. Angel: Trans I. R. E. BTR-4, 4, p. 3 (Sept. 1958)



特 許 の 紹 介



最近登録された日立製作所の特許

登録番号	名	称	氏	名	登録年月日	登録番号		名				称		氏	名	登録年月日
272211 272214 272224 272232 272235	制動装置用非常空気ばね台車用荷重応動でないトコンペヤの接番番装	ブレーキ装置 水 切 装 置 置	田田志井 若	八十次 八十次 孝太郎 啓 郎	36. 3. 13	272216 272213	油	庄	ブ	光	ス	装	置 体	中石水 伴江東	昌	36. 3. 13